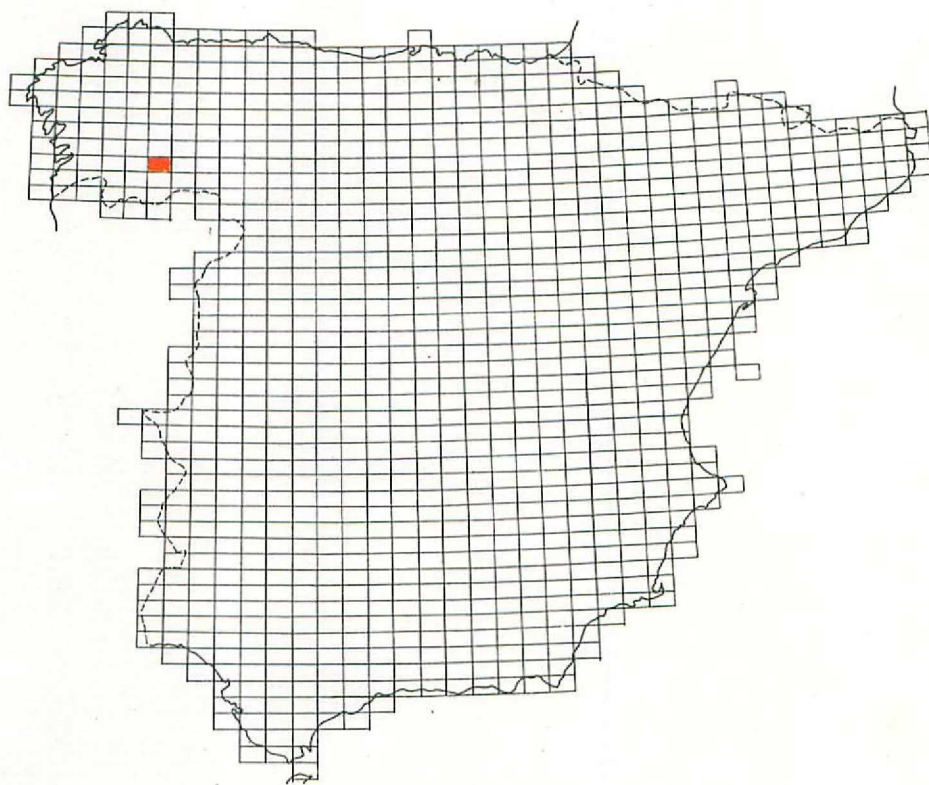


GEOTEHIC S.A.
INGENIEROS CONSULTORES

MAPA GEOLOGICO NACIONAL

Escala 1:50.000

MAGNA



MANZANEDA 08-11 (227)
DOCUMENTACION COMPLEMENTARIA
• Diagramas Estructurales

MAPA GEOLOGICO NACIONAL

E: 1: 50.000

HOJA NUM. 08-11 MANZANEDA

DOCUMENTACION COMPLEMENTARIA

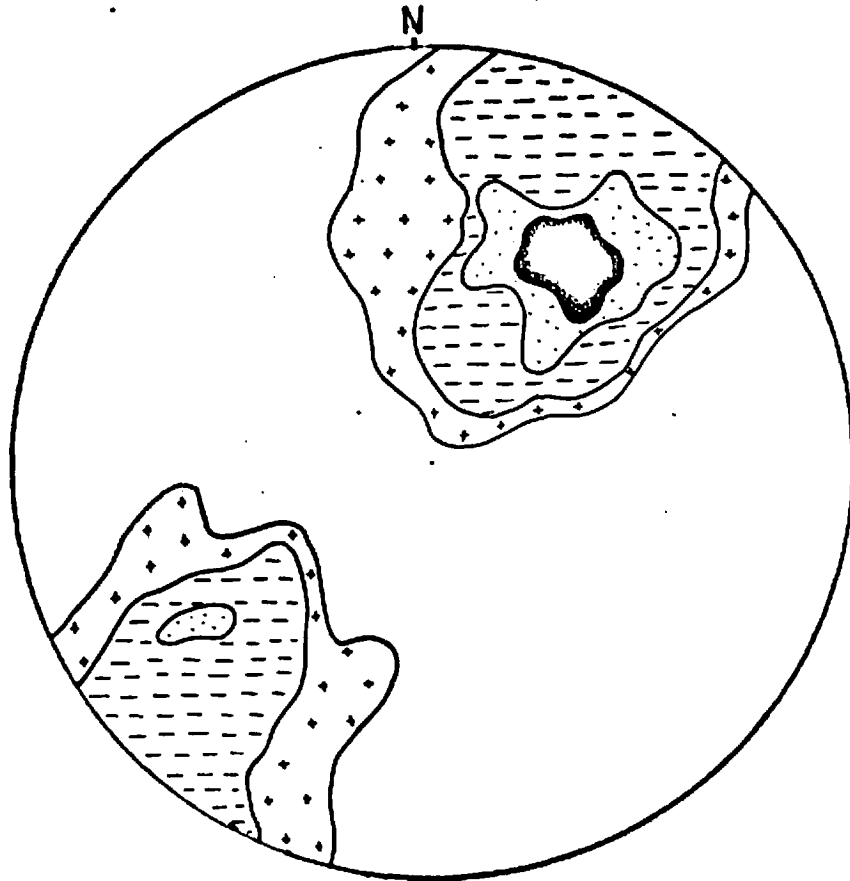
DIAGRAMAS DE FRECUENCIA REFERIDOS A LA ESQUISTOSIDAD DE LA SERIE PALEOZOICA. CONCLUSIONES CINEMATICAS.

En los gráficos que siguen (Fig. 4 y 5) se ha representado por proyección estereográfica y mediante diversas áreas equiporcentuales, la frecuencia de aparición de los polos correspondientes a los planos determinados por la primera esquistosidad (esquistosidad de F_1). La Fig. 4 corresponde a mediciones en los afloramientos paleozoicos presentes al S y SW del macizo granítico de Queija—Manzaneda, mientras que la Fig. 5 se refiere al sector comprendido en el cuadrante NE.

Como carácter general se desprende de la observación de ambos gráficos, una clara orientación de los planos de esquistosidad (S1) según una dirección NW—SE; la situación simétrica que, en la Fig. 5, adoptan los dos máximos tangentes a la circunferencia, indica un cierto porcentaje de esquistosidades subverticales que parece ser, sin embargo, estadísticamente superado por la tendencia comprendida entre los 50° y 70° de buzamiento S.

En la Fig. 4, donde se ha contado con mayor número de datos puntuales, se aprecia menor dispersión, con una clara tendencia de los polos de los planos de esquistosidad (S1) a agruparse en un máximo (zona en negro), que viene igualmente a corresponder a los buzamientos comprendidos entre los 50° y 70° S. Los contornos de los diferentes tantos por cierto guardan un cierto paralelismo, hecho explicable por la acumulación de datos de esquistosidad procedentes de todo tipo de localizaciones dentro de cada estructura (flancos, charnelas, etc) en series muy replegadas.

En ambas figuras se ve una variación de buzamientos de S a N prácticamente continua que se debe interpretar como consecuencia de la actuación de la segunda fase, al modificar la posición original de los planos de la primera esquistosidad. A la vista de los gráficos, especialmente el correspondiente a región suroccidental de la hoja (Fig. 4), se debe deducir que esta segunda fase de deformación no debió diferir, en lo que a la dirección cinemática de los esfuerzos se refiere, en modo apreciable de la primera.



AREAS CON PORCENTAJE DE POLOS

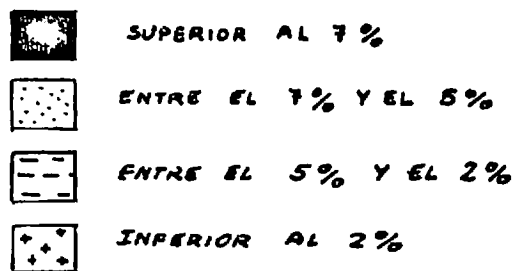
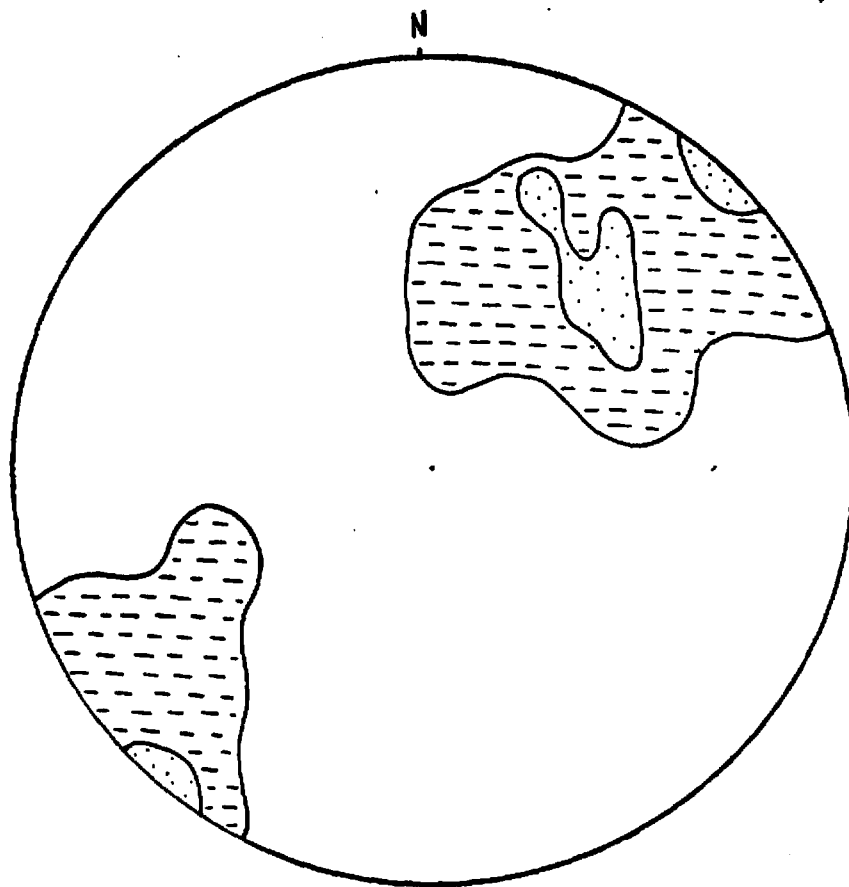


Fig. 4.- Diagrama de orientación de polos de los planos de la primera esquistosidad, en la zona sur del macizo de Queija-Manzaneda.



AREAS CON PORCENTAJE DE POLOS



SUPERIOR AL 7%



INFERIOR AL 7%

Fig. 5.— Diagrama de orientación de polos de los planos de la primera esquistosidad, en el ángulo NE de la Hoja (dominio del sinclinal del Si).